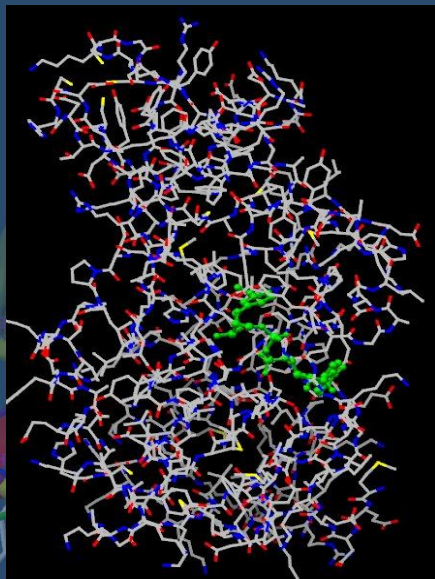


Relazioni quantitative struttura-attività di tipo tri-dimensionale mediante l'utilizzo di informazioni strutturali del recettore: applicazione agli inibitori delle sirtuine

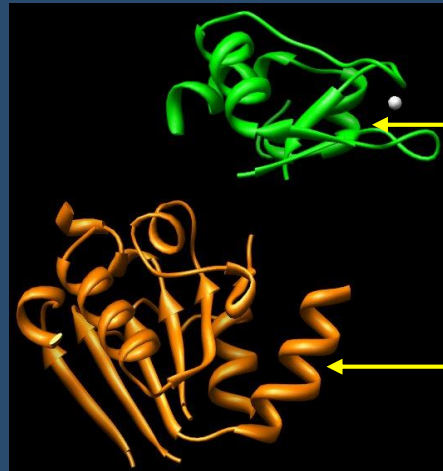
Laureando:
Girolamo Capezzera

Relatore:
Chiar.mo dott. Rino Ragno

Sirtuine



SIRT2

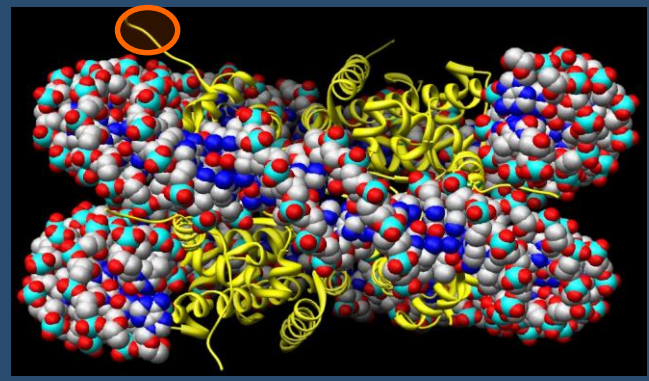


**piccolo dominio
flessibile**

**dominio più grande
Rossmann fold**

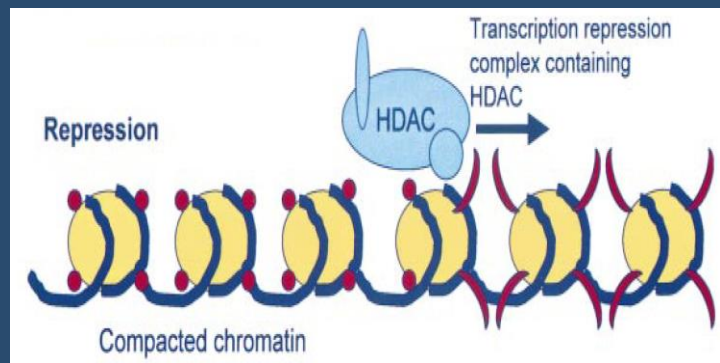
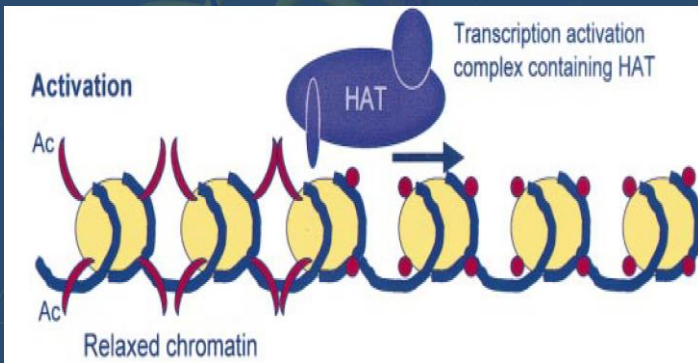


Ottamero istonico



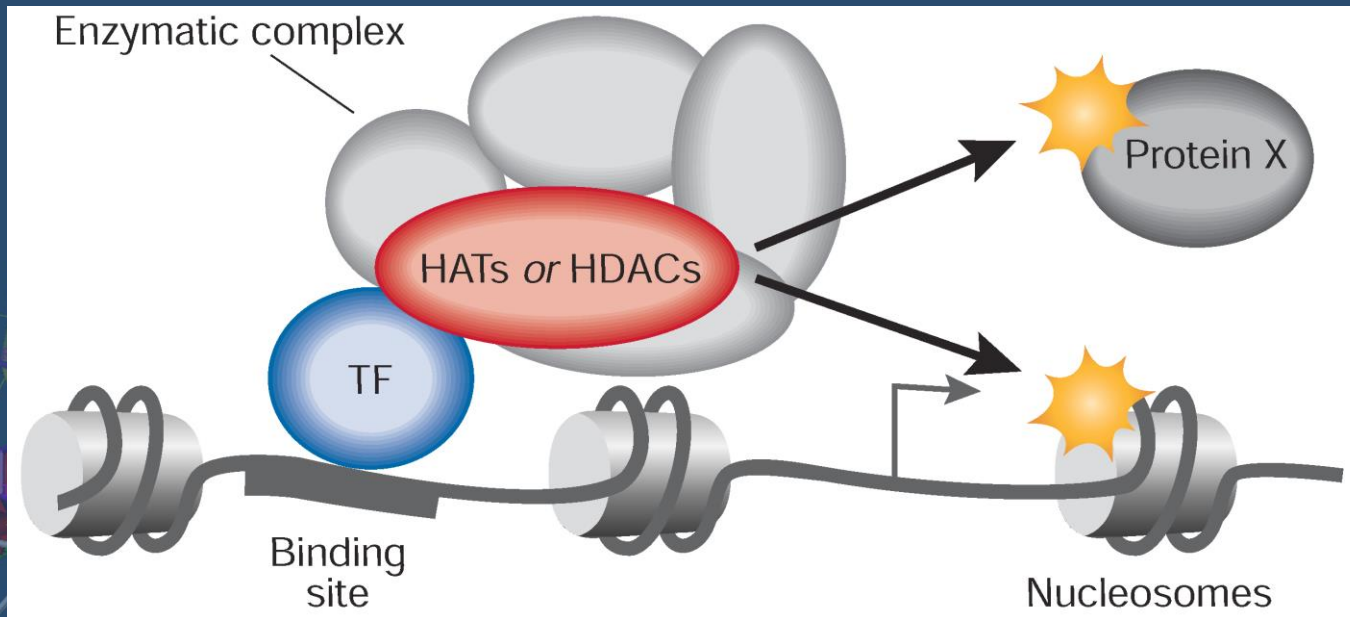
Nucleosoma

Sirtuine



CANCEROGENESI

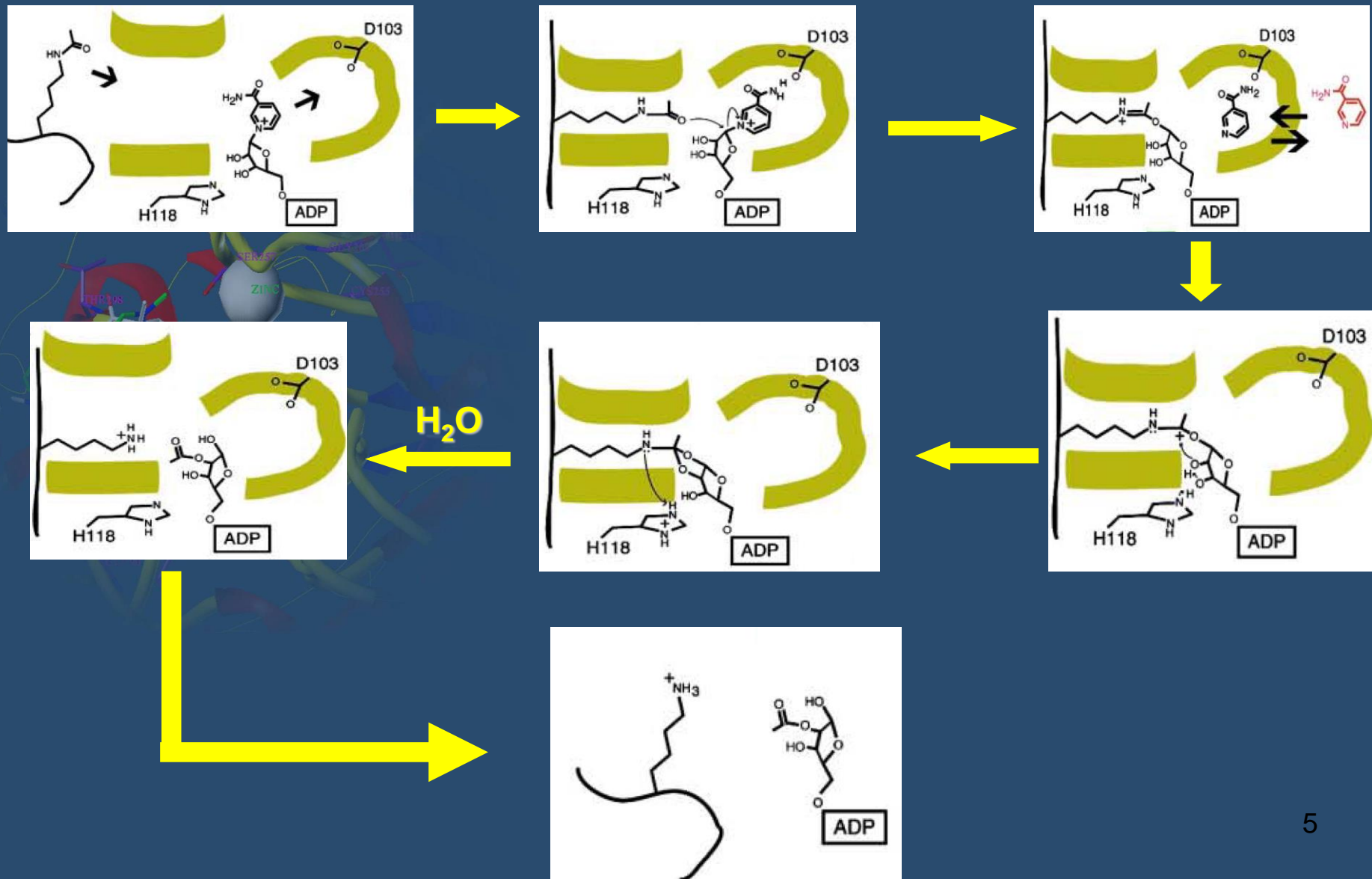
Sirtuine



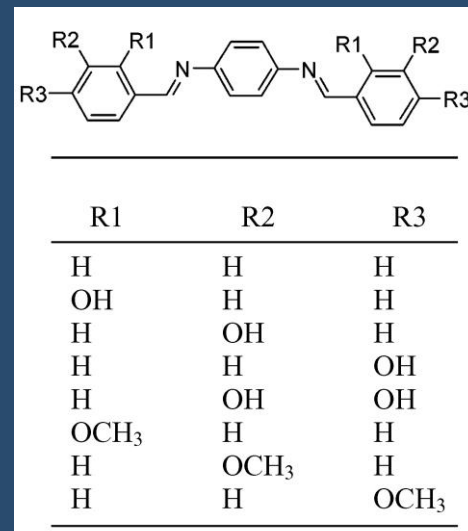
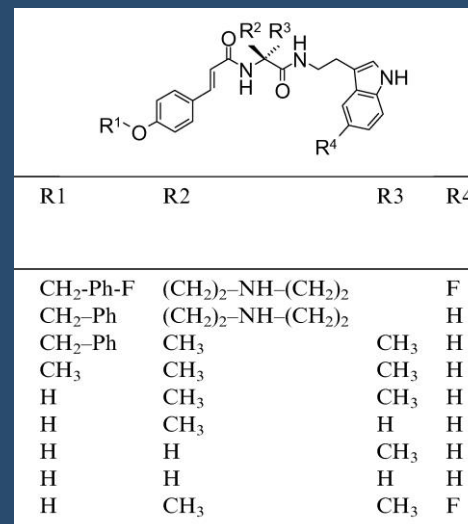
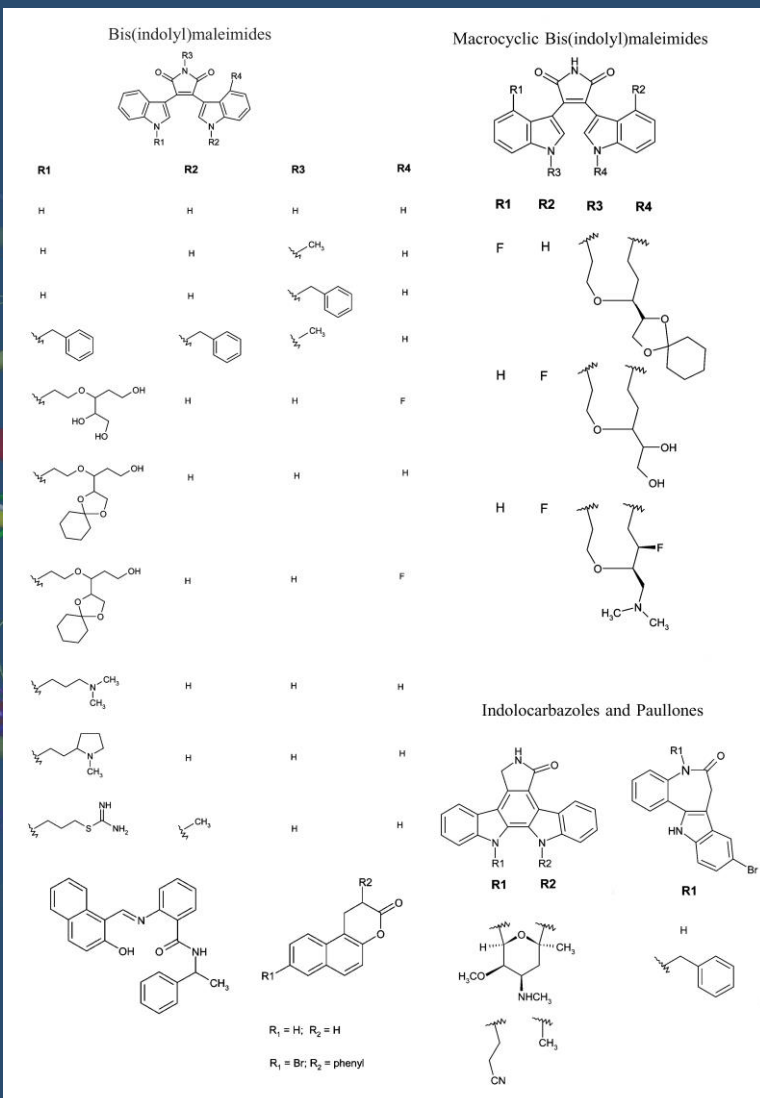
Influenze extraistoniche { **Regolazione del ciclo cellulare**
Controllo dell'apoptosi
Controllo delle risposte cellulari allo stress

Influenze istoniche { **Substrati istonici non trascrizionali**
Regolazione della trascrizione genica

Meccanismo Catalitico



Inibitori delle Sirtuine

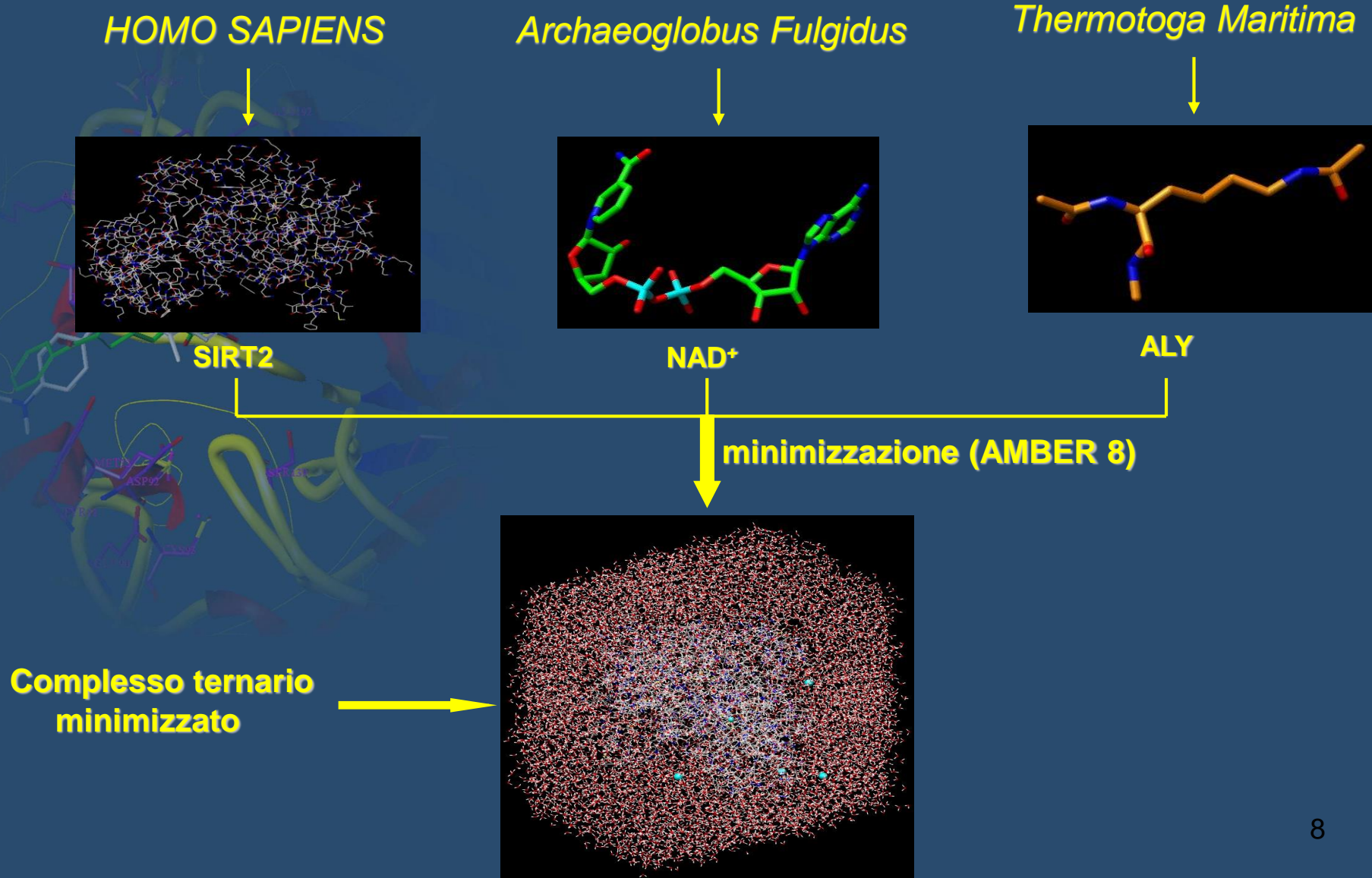


- J. Trapp; J.Med.Chem., 2006, 49, 7307-7316.
- H. Kiviranta; Bioorganic & Medicinal Chemistry Letters, 2007, 2448-2451.
- J. Leppanen; J. Med. Chem. 2006, 49, 7907-7911.

Approccio Sperimentale

- Costruzione e minimizzazione del complesso ternario SIRT2/ALY/NAD⁺
 - Validazione del programma di docking molecolare Autodock4 ed analisi del binding mode inibitori SIRT2 attraverso studi di docking molecolare
 - Sviluppo di modelli 3-D QSAR

Costruzione e minimizzazione del complesso ternario SIRT2/ALY/NAD⁺



Validazione del programma di docking molecolare Autodock4



Analisi del binding mode dei 72 inhibitori SIRT2 attraverso studi di docking molecolare

Docking molecolare degli inibitori SIRT2

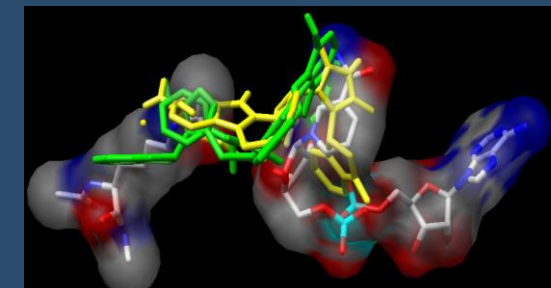
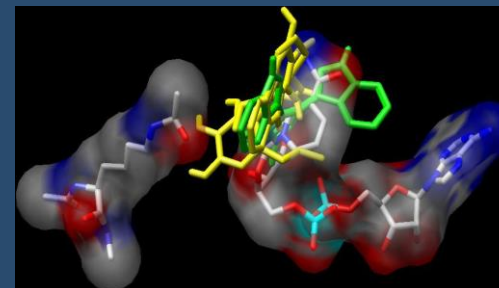
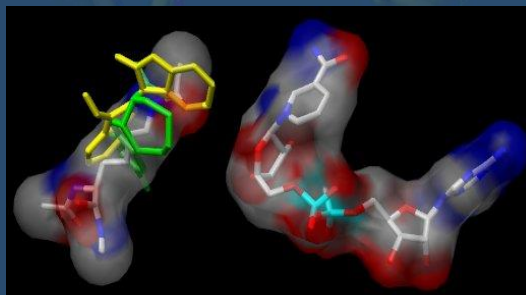
Valutazione del binding mode

Tre possibili siti di inibizione:

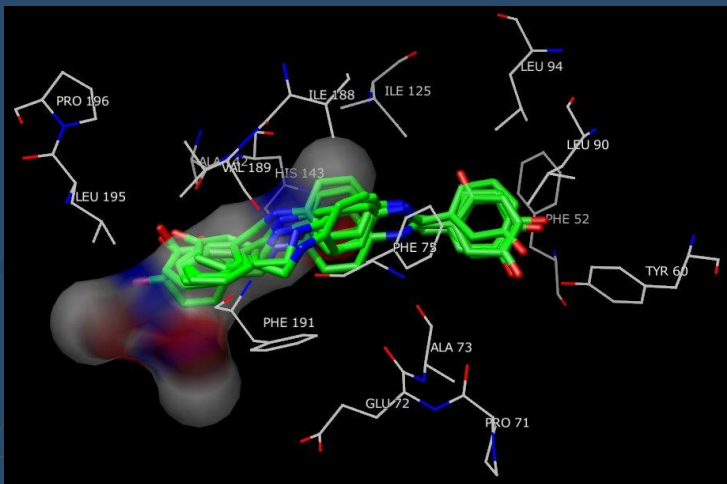
1 Inibitori della lisina acetilata

2 Inibitori del cofattore NAD⁺

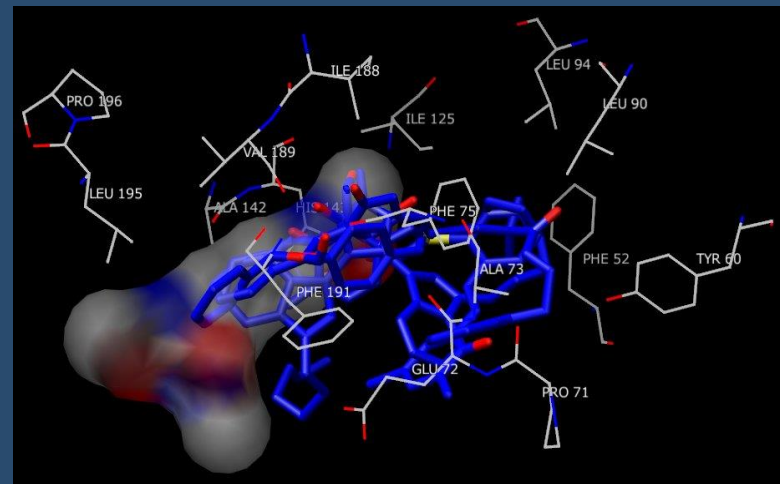
3 Inibitori del sito intermedio



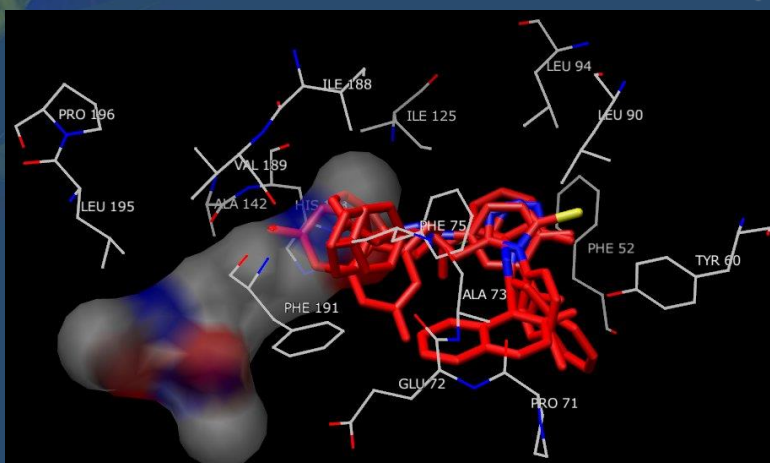
Analisi del binding mode degli inibitori della lisina acetilata



Strutture attive ($IC_{50} = 0,8\text{--}5 \mu\text{M}$)

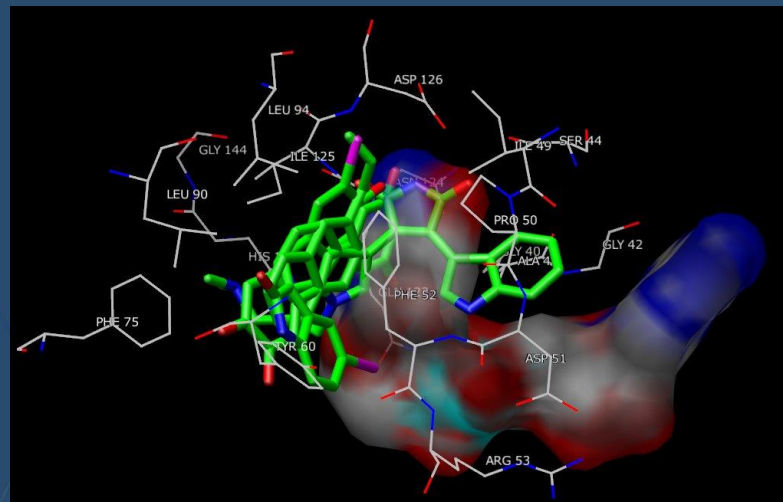


Strutture mediamente attive
($IC_{50} = 100 \mu\text{M}$)

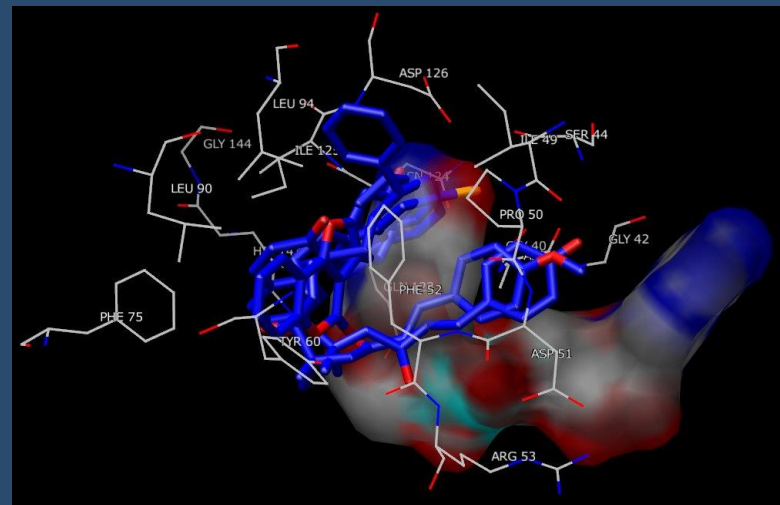


Strutture poco attive ($IC_{50} > 300 \mu\text{M}$)

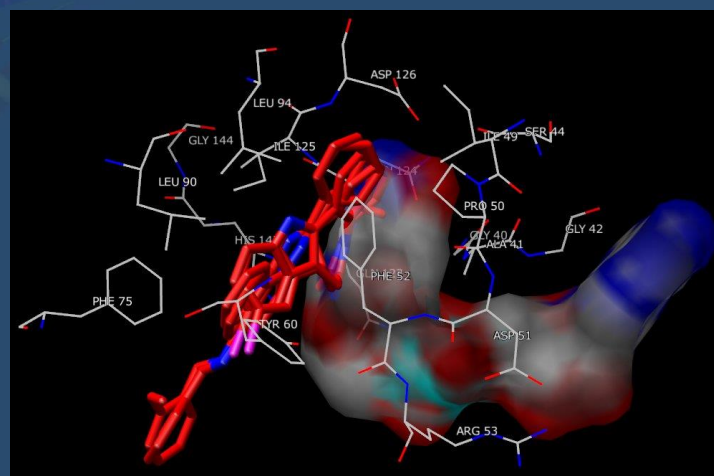
Analisi del binding mode degli inibitori del cofattore NAD⁺



Strutture attive ($IC_{50} = 12\text{-}35 \mu\text{M}$)



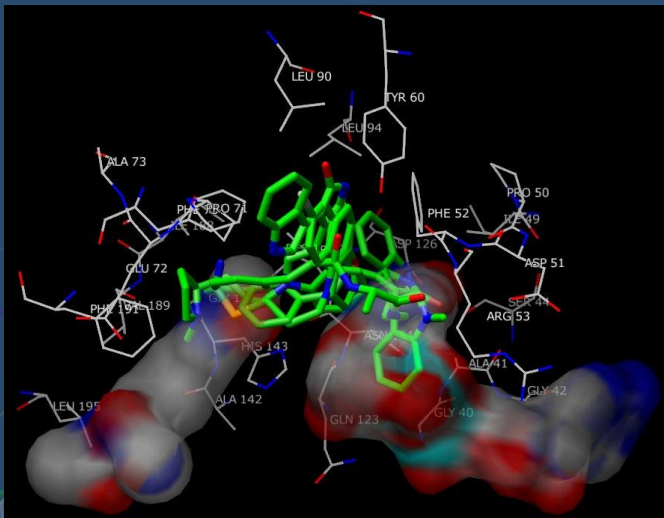
Strutture mediamente attive
($IC_{50} \sim 140 \mu\text{M}$)



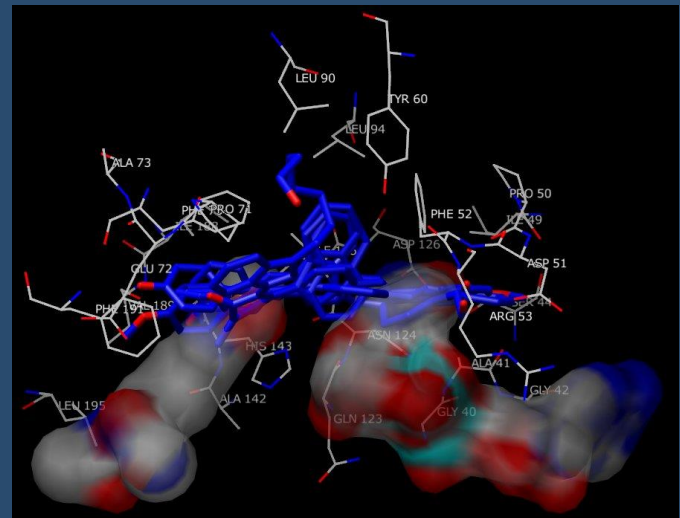
Strutture poco attive ($IC_{50} = 300 \mu\text{M}$)

Analisi del binding mode degli inibitori con disposizione intermedia

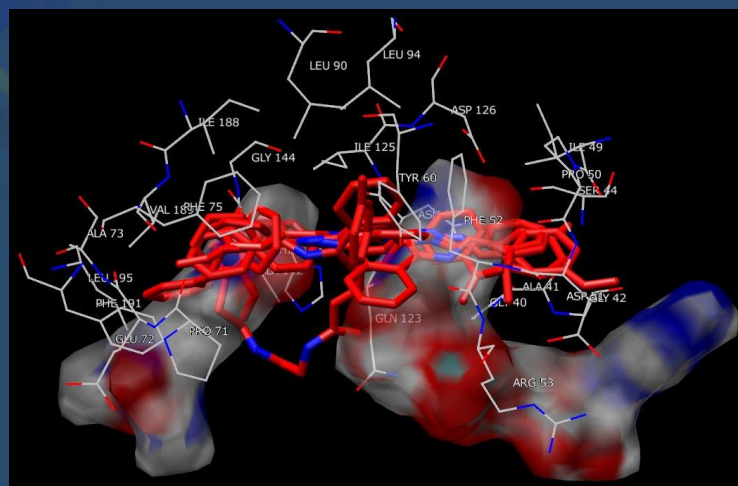
rcmd
Rome Center for Molecular Design



Strutture attive ($IC_{50} \sim 10 \mu M$)



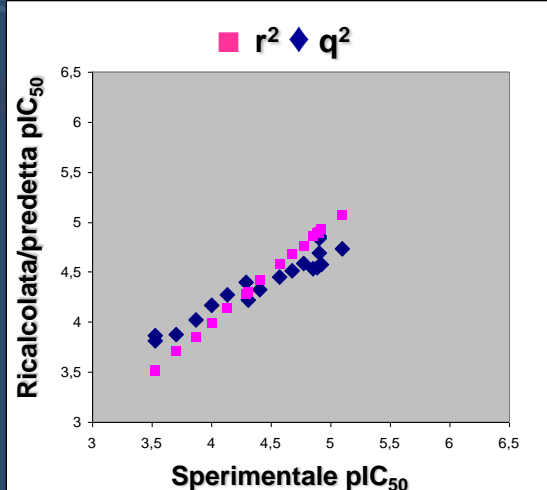
Strutture mediamente attive ($IC_{50} \sim 140 \mu M$)



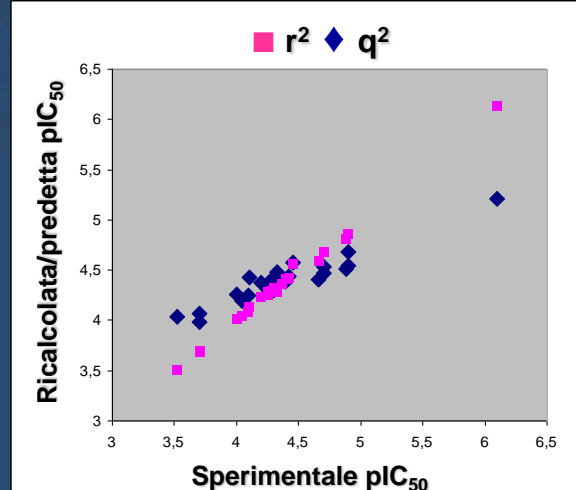
Strutture poco attive ($IC_{50} > 300 \mu M$)

Sviluppo di modelli 3-D QSAR

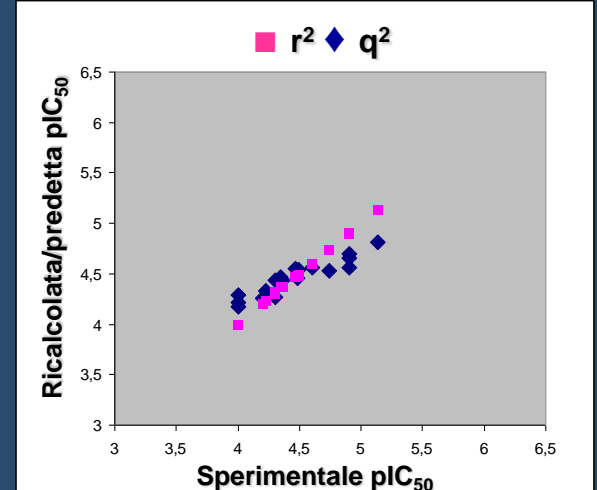
Probabile sito di inibizione	Allineamento esaminato	Strutture	Probe	FFD	N	P.C.	q2	r2	SDEP _{cv}
Lisina acetilata	Best Cluster	19	DRY-OH	II	782	5	0,91	0,99	0,15
Sito Intermedio	Best Cluster	24	DRY-OH	II	1118	3	0,66	0,99	0,27
Cofattore NAD ⁺	Best Cluster	18	DRY-OH	II	1064	5	0,68	0,99	0,19



Inibitori
lisina acetilata



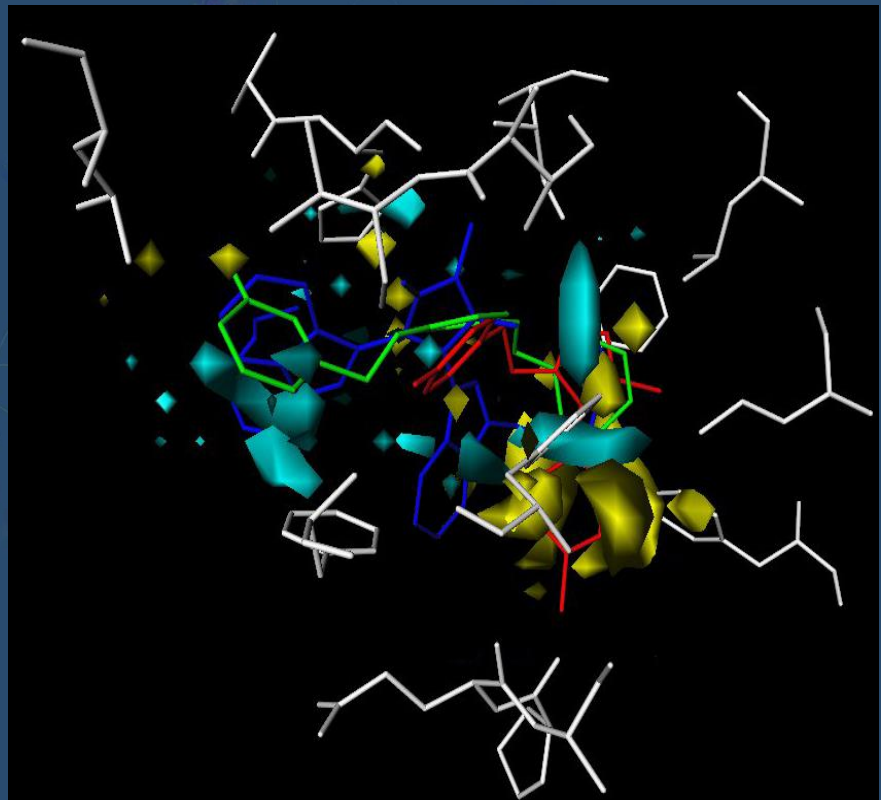
Inibitori
intermedi



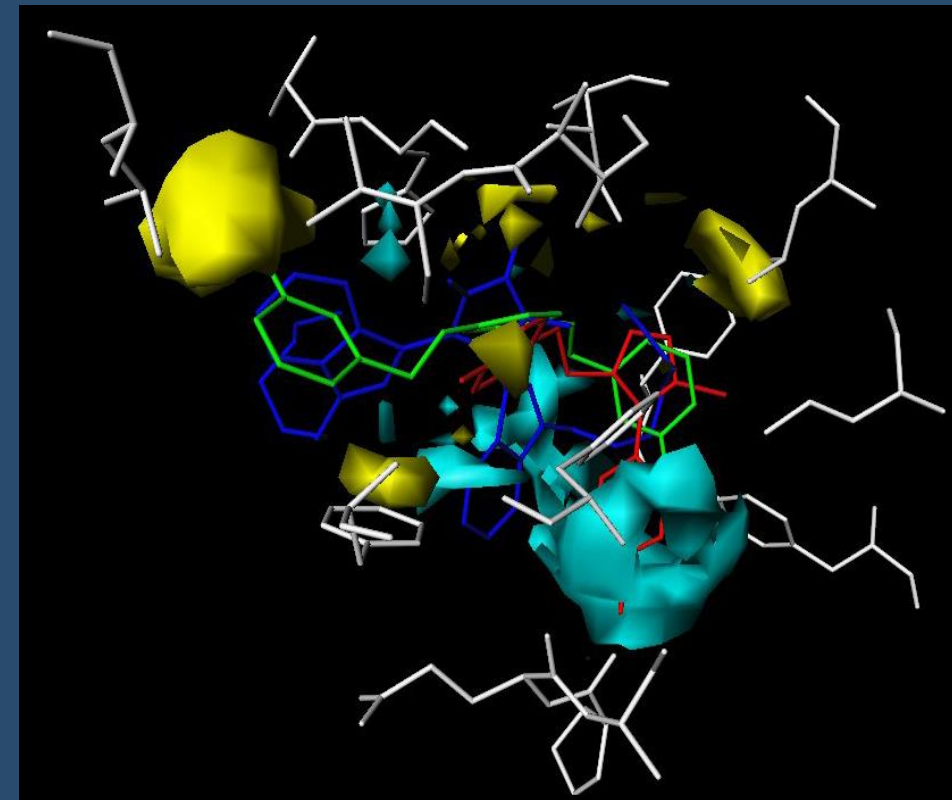
Inibitori
cofattore NAD⁺

3-D QSAR: Analisi delle mappe

Inibitori della lisina acetilata



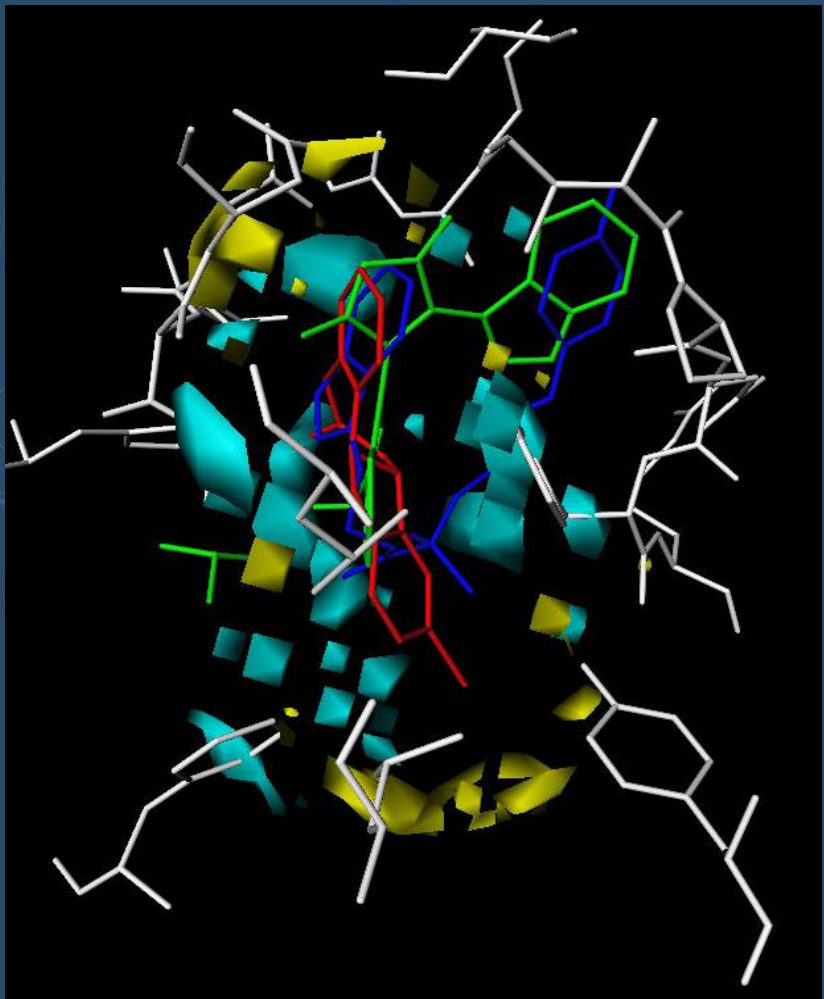
PLS Coefficient atomo sonda DRY



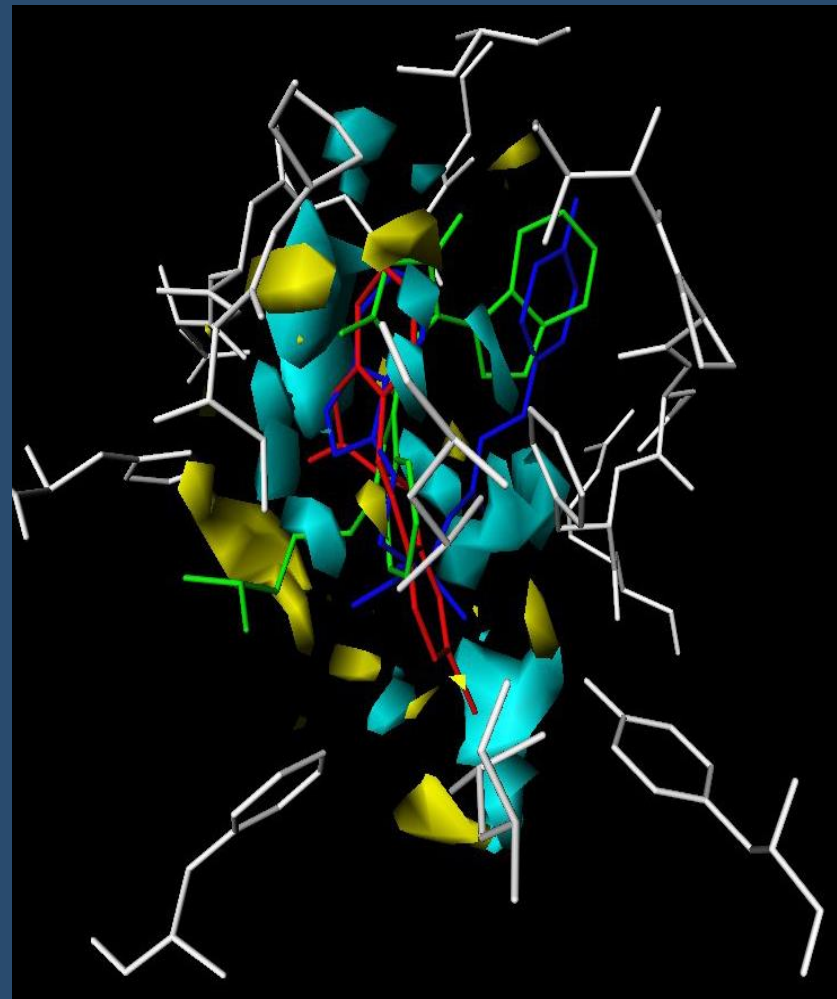
PLS Coefficient atomo sonda OH

3-D QSAR: Analisi delle mappe

Inibitori del cofattore NAD⁺



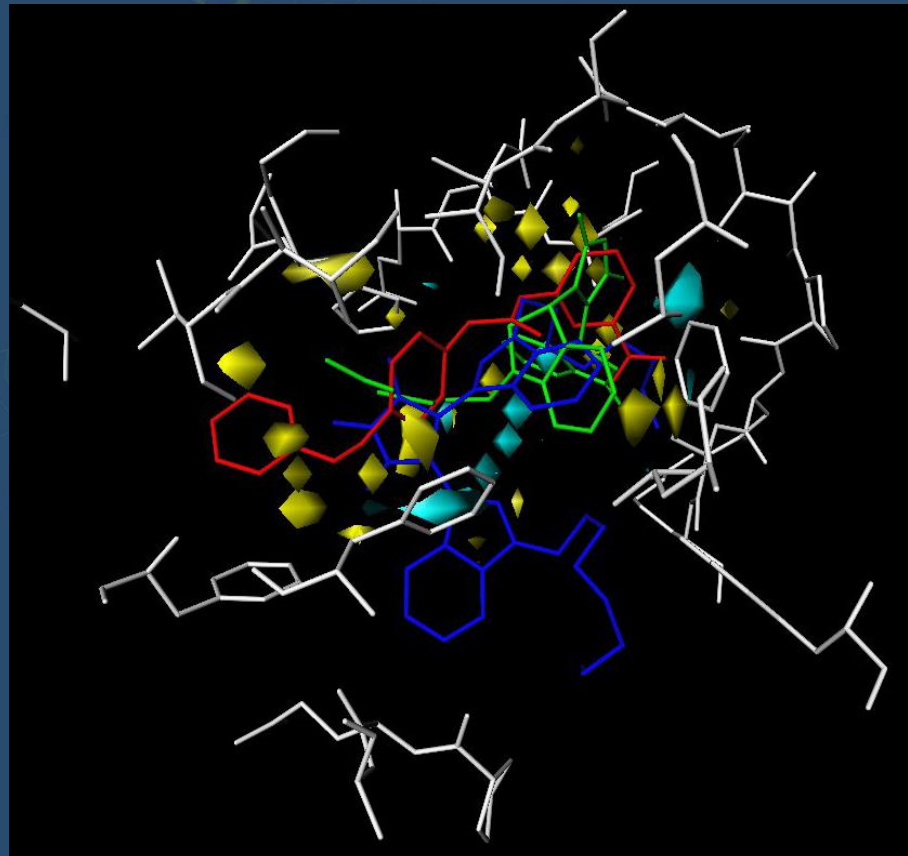
PLS Coefficient atomo sonda DRY



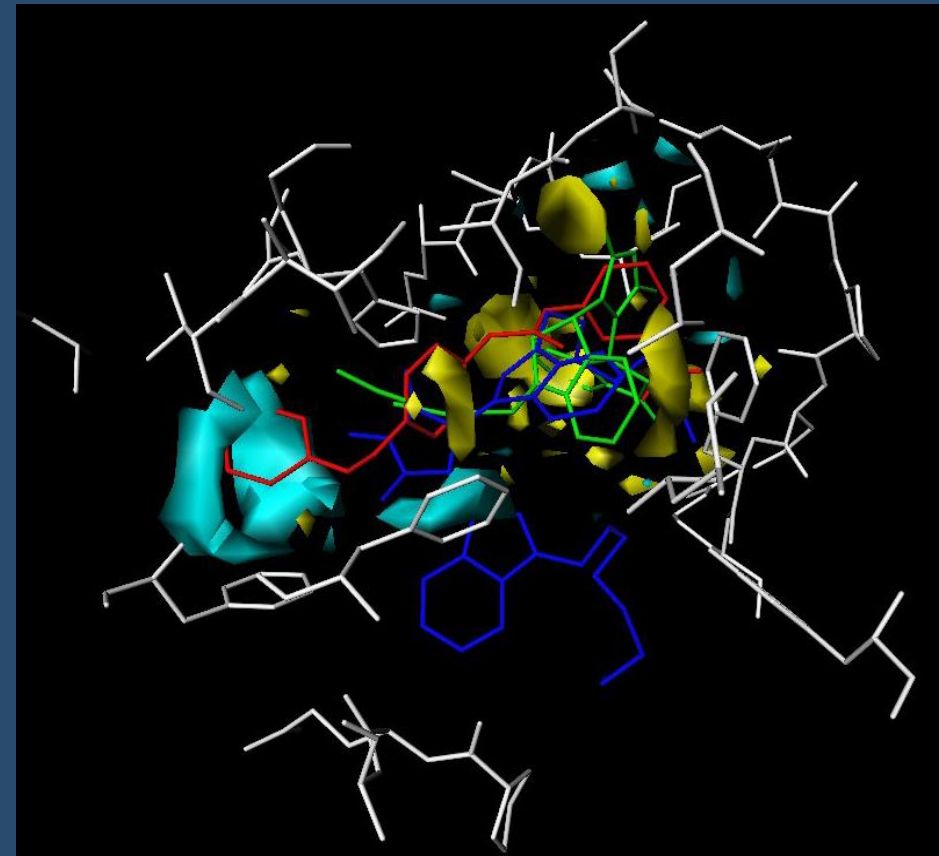
PLS Coefficient atomo sonda OH

3-D QSAR: Analisi delle mappe

Inibitori con disposizione intermedia



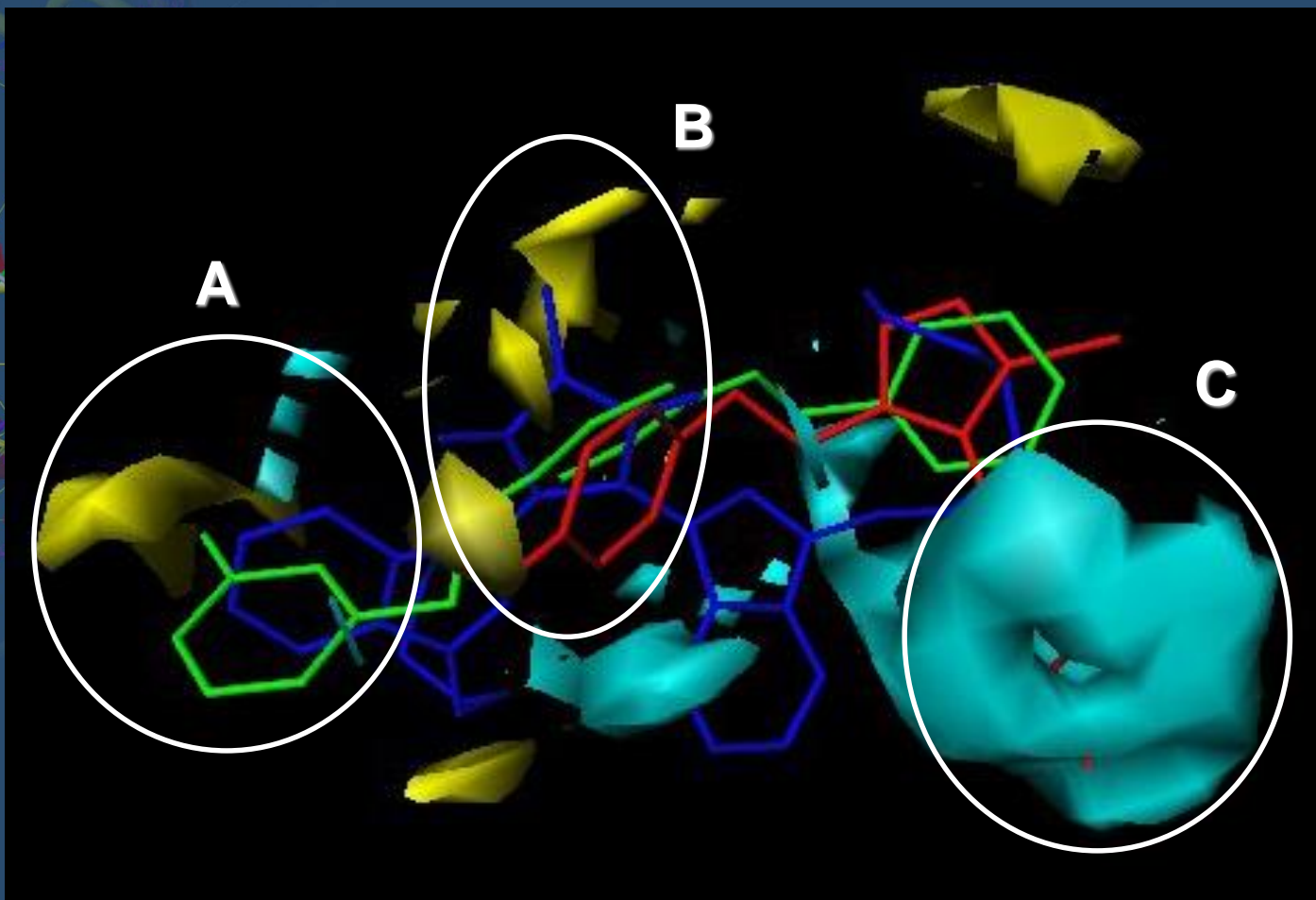
PLS Coefficient atomo sonda DRY



PLS Coefficient atomo sonda OH

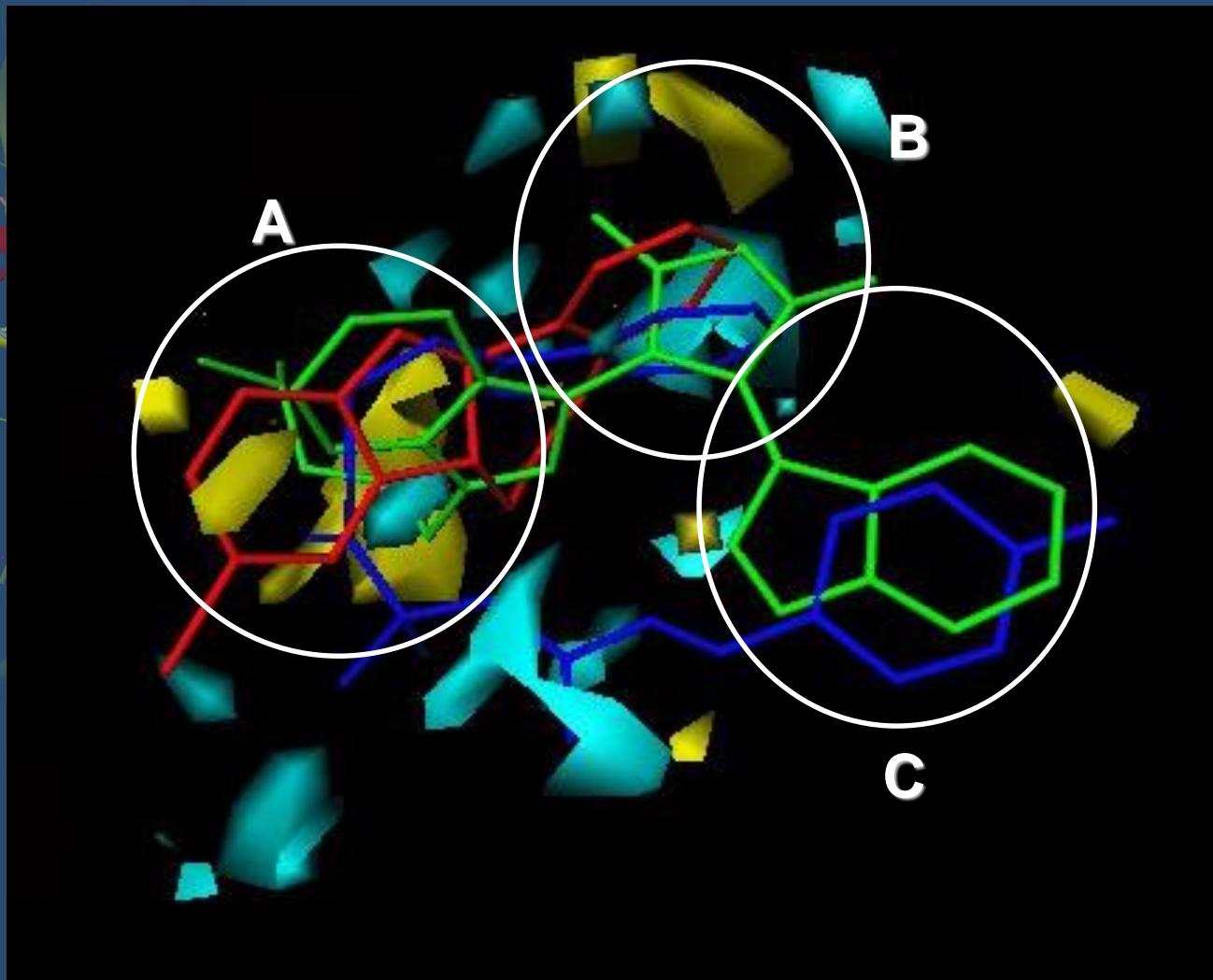
3-D QSAR: Analisi delle mappe

Inibitori della lisina acetilata

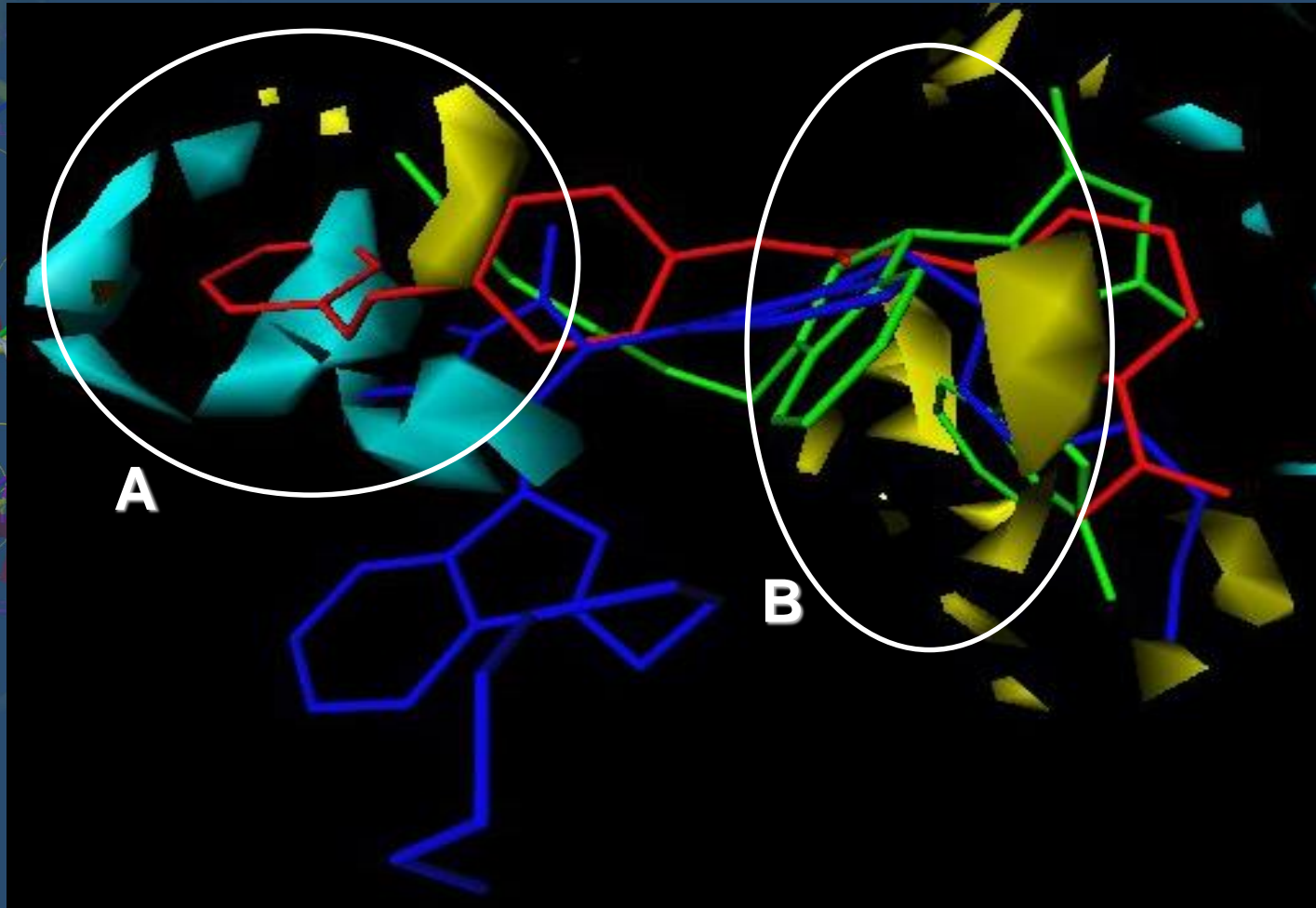


3-D QSAR: Analisi delle mappe

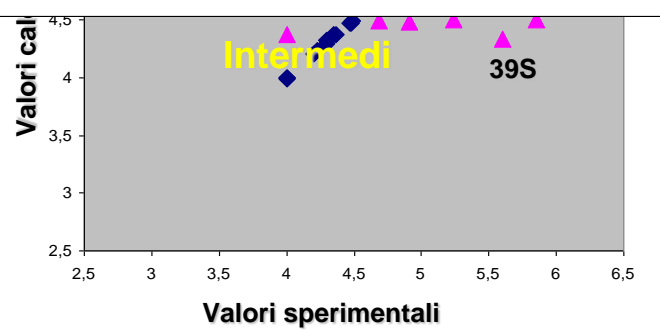
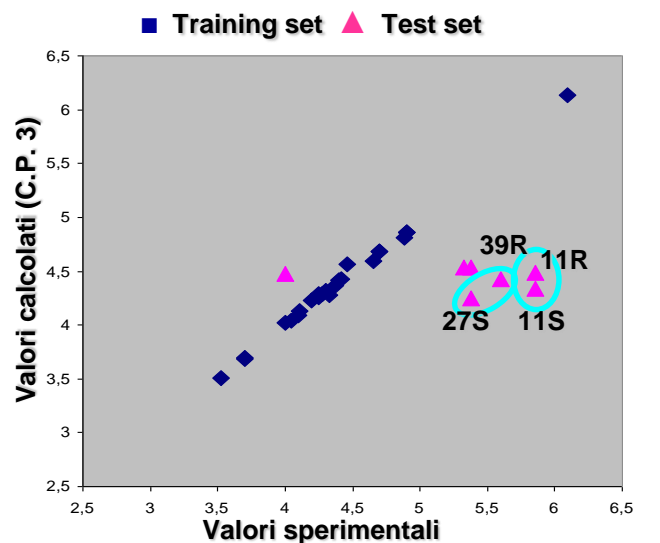
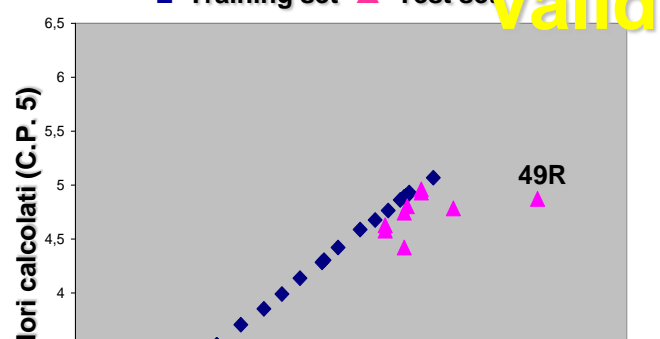
Inibitori del cofattore NAD⁺



Inibitori con disposizione intermedia



Validazione dei modelli



Probabile sito di inibizione	All.	T. s.	Test set esterno		SDEP _{EXT}	P.C.
Lisina acetilata	BC	19	6S, 7S, 8S, 9S, 10S, 6R, 7R, 8R, 49R		0,4	5
Sito Intermedio	BC	24	11S, 27S, 46S, 11R, 27R, 31R, 39R		1,09	3
Cofattore NAD ⁺	BC	18	31S, 31S, 49S, 9R, 10R, 46R		0,85	5

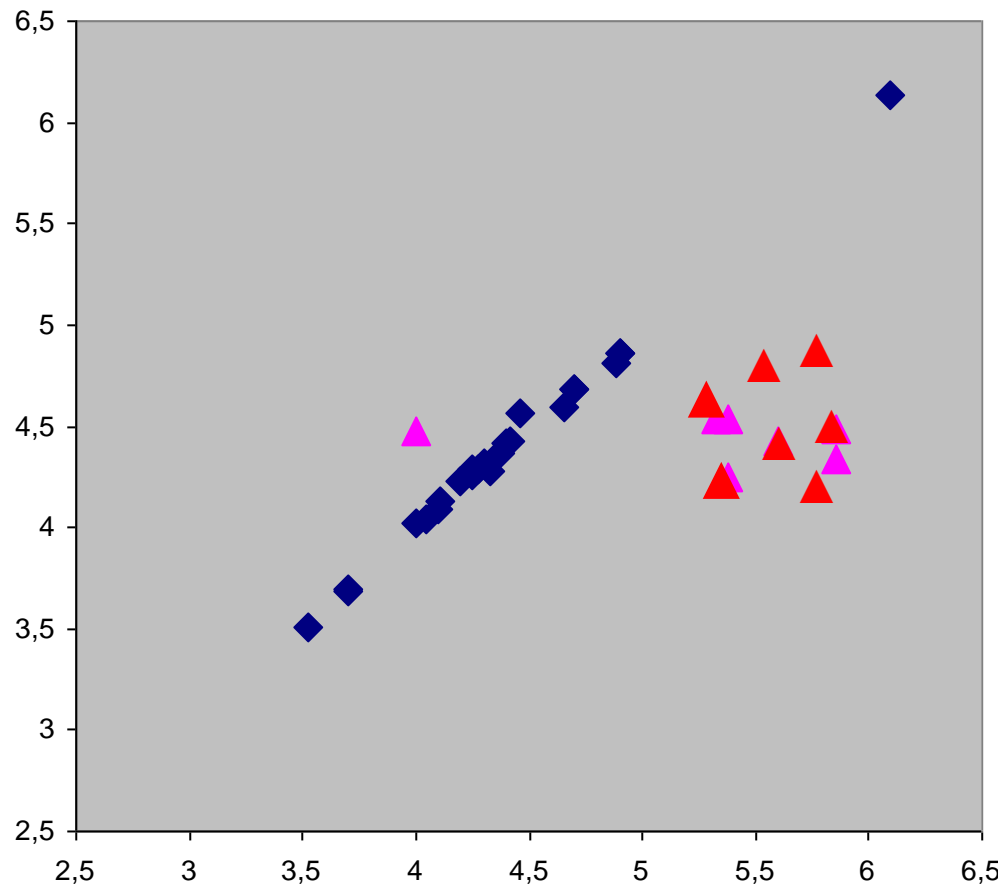
Struttura	Sito di inibizione	Attività Sperimentale	Attività Calcolata	Errore di Predizione
46S	INTERMEDI	4	4,47	-0,47
46R	NAD ⁺	4	4,37	-0,37
8R	ALY	5,01	4,96	0,05
8S	ALY	5,01	4,93	0,08
10S	ALY	4,91	4,81	0,1
6S	ALY	4,75	4,63	0,12
7S	ALY	4,89	4,75	0,14
6R	ALY	4,75	4,57	0,18
31S	NAD ⁺	4,68	4,49	0,19
10R	NAD ⁺	4,91	4,48	0,43
9S	ALY	5,24	4,78	0,46
7R	ALY	4,89	4,42	0,47
9R	NAD ⁺	5,24	4,5	0,74
31R	INTERMEDI	5,33	4,54	0,79
27R	INTERMEDI	5,38	4,53	0,85
49R	ALY	5,85	4,87	0,98
27S	INTERMEDI	5,38	4,25	1,13
39R	INTERMEDI	5,6	4,43	1,17
39S	NAD ⁺	5,6	4,33	1,27
49S	NAD ⁺	5,85	4,5	1,35
11R	INTERMEDI	5,86	4,49	1,37
11S	INTERMEDI	5,86	4,33	1,53

70%

30%

CONCLUSIONI

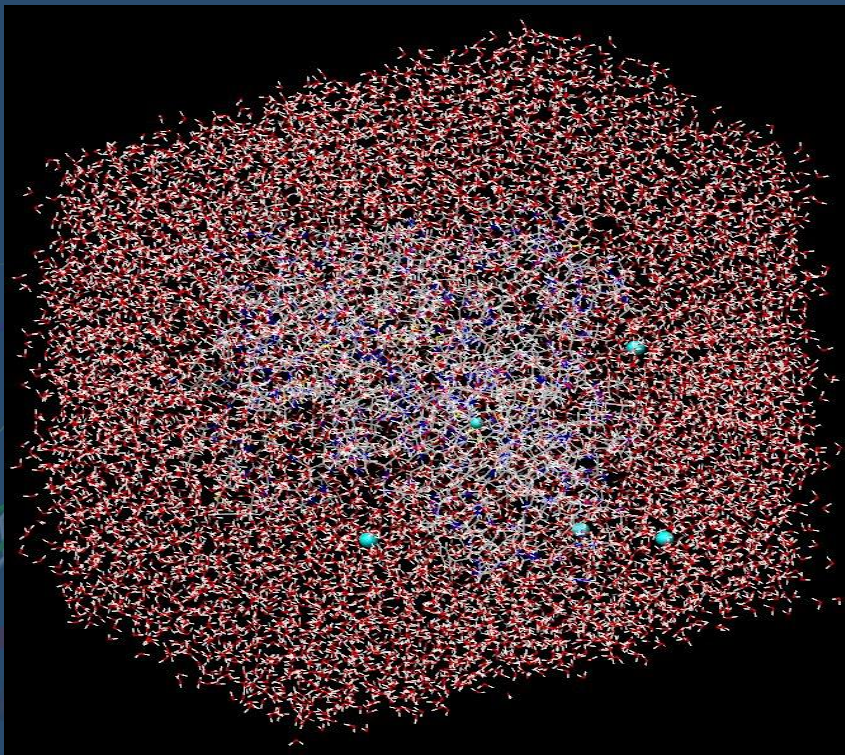
- Docking (Autodock4) di 72 strutture di inibitori SIRT2
 - Binding Mode: Tre possibili siti di inibizione per SIRT2
 - GRID/GOLPE: individuazione dei gruppi farmacoforici più importanti per l'attività biologica
 - Informazioni strutturali su possibili nuovi inibitori SIRT2



Scelta modelli 3-DQSAR

sito	All.	n° S.	Ster.	Probe	FFD	N	P.C.	q2 ^a	r2	SDEP _{CV} ^a		L(ODS)O	
											S.G.	q2 ^b	SDEP _{CV} ^b
Lisina acetilata	BC	24	S	DRY-OH	II	795	4	0,91	0,99	0,15	7	0,89	0,17
Sito Intermedio	BC	27	S	DRY-OH	II	815	4	0,77	0,99	0,28	6	0,74	0,3
Cofattore NAD ⁺	BC	21	S	DRY-OH	II	886	5	0,78	0,99	0,22	4	0,67	0,28
Lisina acetilata	BC	23	R	DRY-OH	II	627	5	0,86	0,99	0,28	7	0,86	0,21
Sito Intermedio	BC	28	R	DRY-OH	II	893	5	0,77	0,99	0,3	6	0,67	0,35
Cofattore NAD ⁺	BC	21	R	DRY-OH	II	1028	5	0,68	0,99	0,21	5	0,7	0,2
Sito Intermedio	BD	36	S	DRY-OH	II	1072	4	0,65	0,99	0,32	7	0,72	0,28
Cofattore NAD ⁺	BD	34	S	DRY-OH	II	897	5	0,7	0,98	0,3	5	0,67	0,31
Sito Intermedio	BD	36	R	DRY-OH	II	939	4	0,62	0,94	0,3	6	0,72	0,28
Cofattore NAD ⁺	BD	33	R	DRY-OH	II	945	5	0,57	0,98	0,32	5	-0,05	0,36

Minimizzazione del complesso ternario



Minimizzazione solvente acquoso

Minimizzazione complesso ternario

→ AMBER8

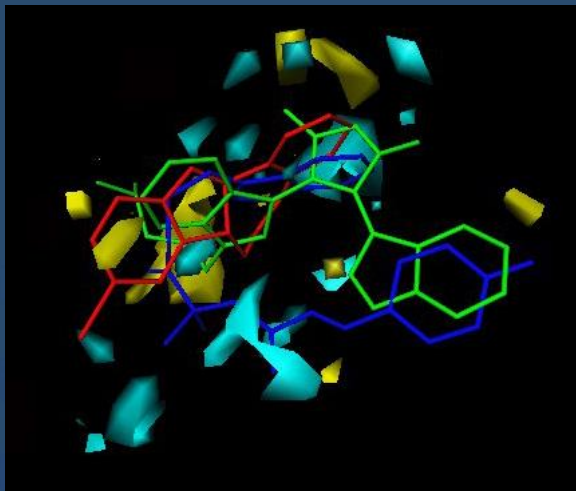
A

```
Minimizzazione complesso: solo H2O
&cntrl
imin    = 1,
maxcyc = 1000,
ncyc   = 250,
ntb     = 1,
ntr    = 1,
cut    = 10
/
Hold the Everything fixed except the protein
500.0
RES 1 356
END
END
```

B

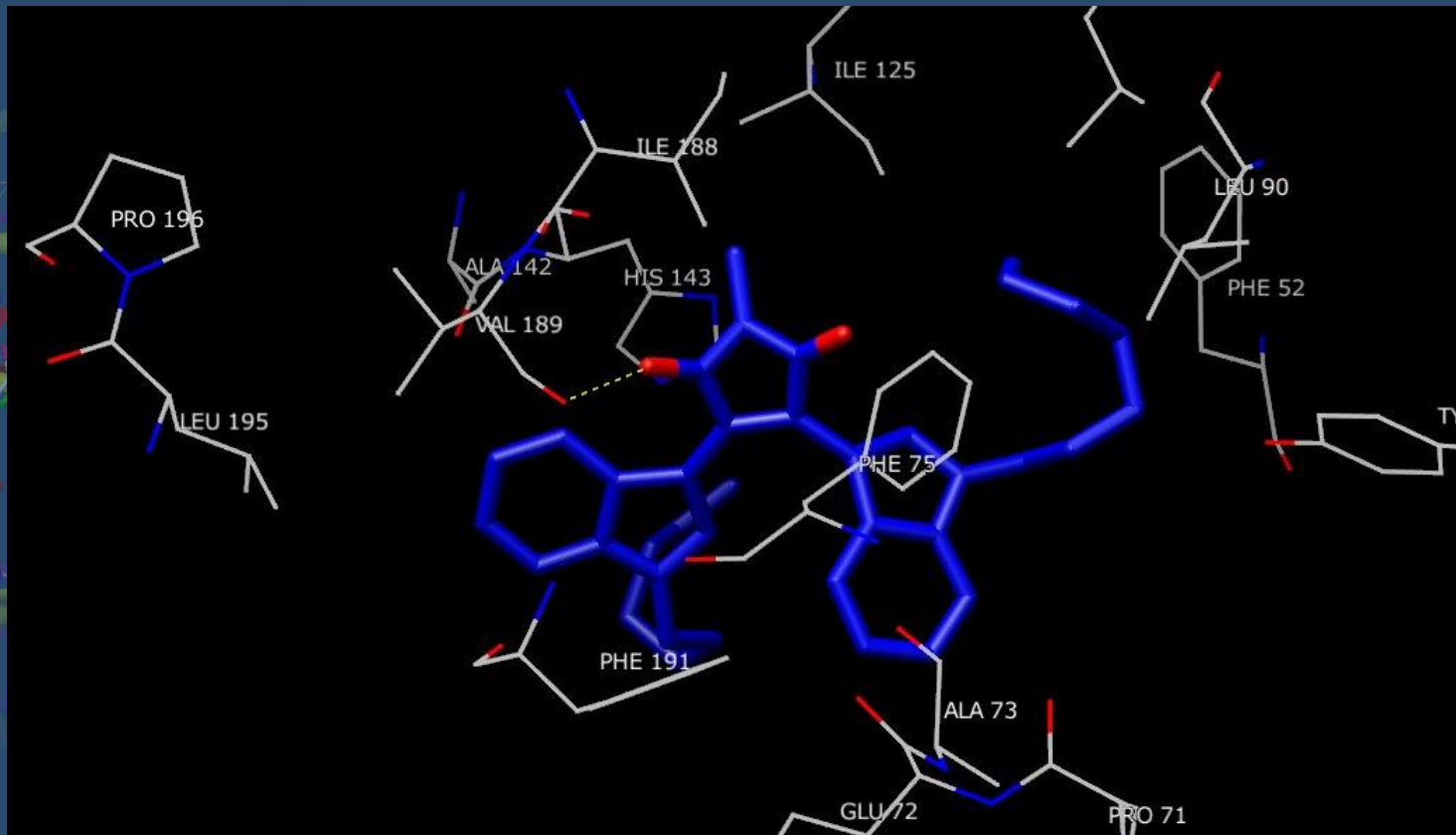
```
Minimizzazione di tutto il sistema mantenendo fermo il backbone
&cntrl
imin    = 1,
maxcyc = 5000,
ncyc   = 1000,
ntb     = 1,
ntr    = 1,
cut    = 10
/
Hold the backbone fixed
100.00
FIND
* * M *
SEARCH
RES 1 356
END
END
```

Analisi degli inibitori del NAD⁺



Atomo sonda OH

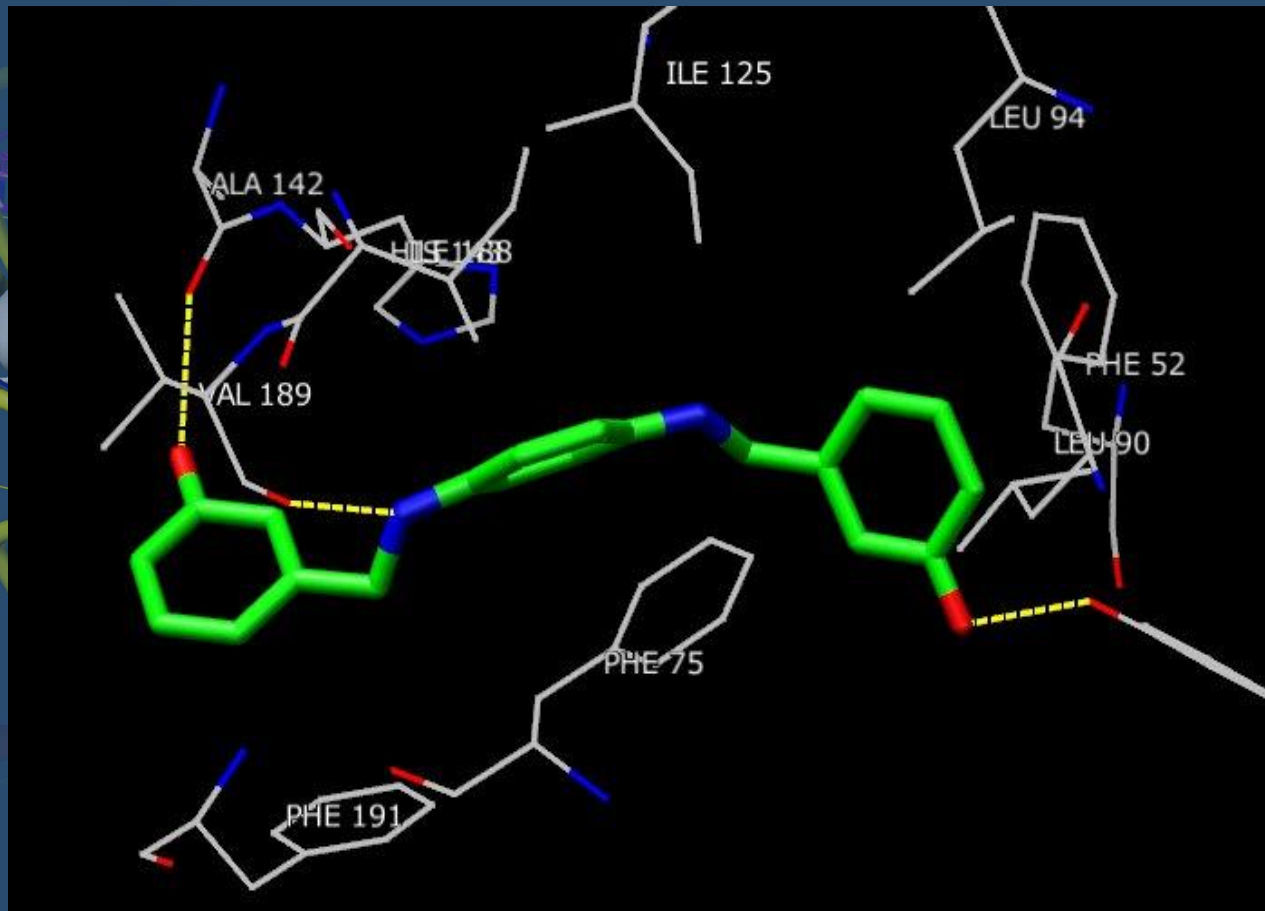
Strutture mediamente attive



**Derivati
bisindolmaleimidici**

29 IC₅₀ = 100 µmoli

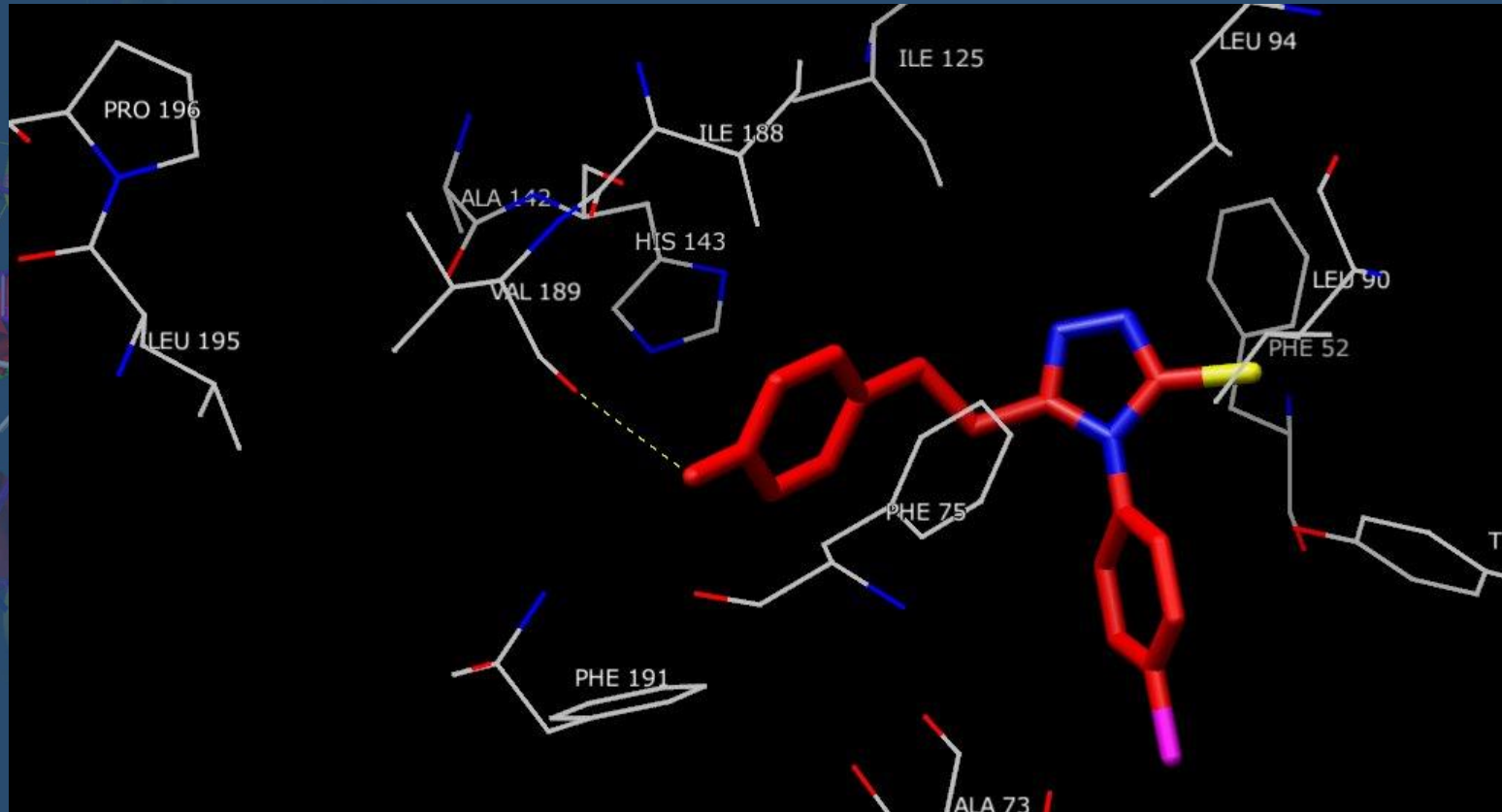
Strutture più attive



Derivati N-N'-bisbenzilidenbenzenici

64 $IC_{50} = 8 \mu\text{moli}$

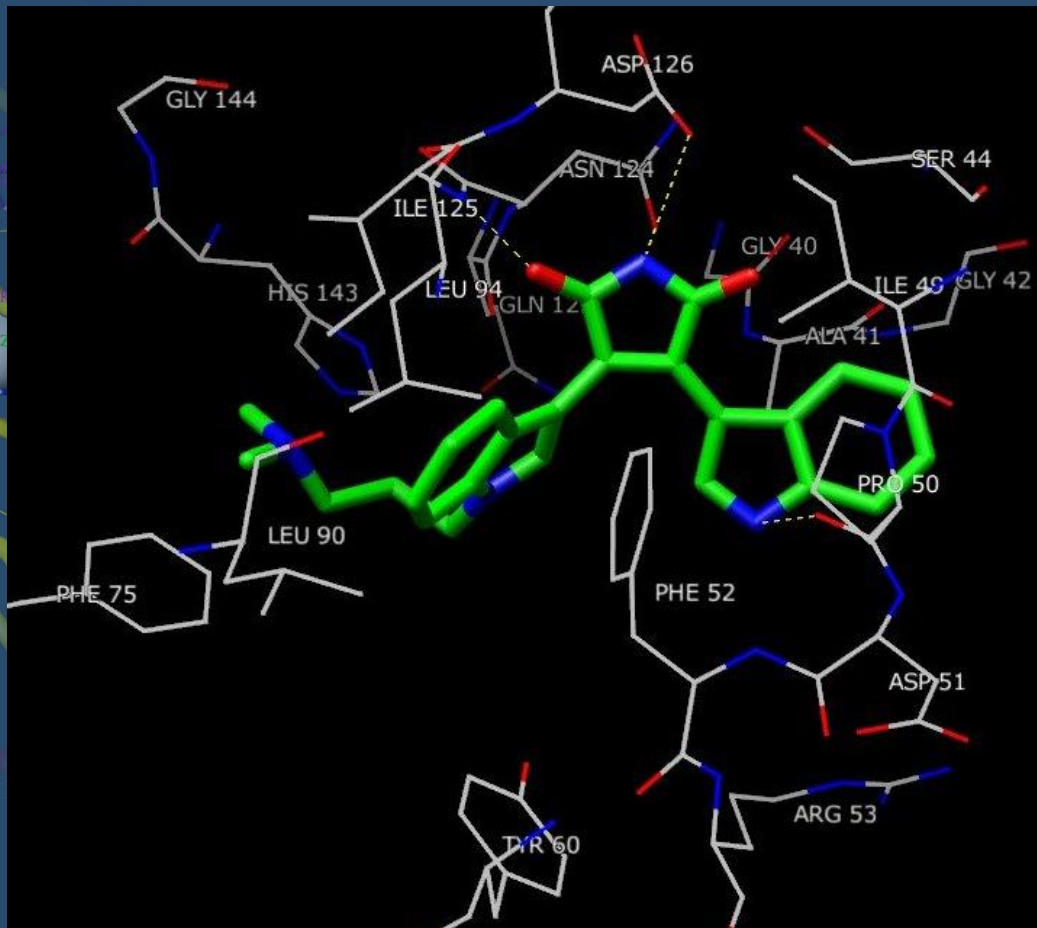
Strutture meno attive



Derivati triazolici

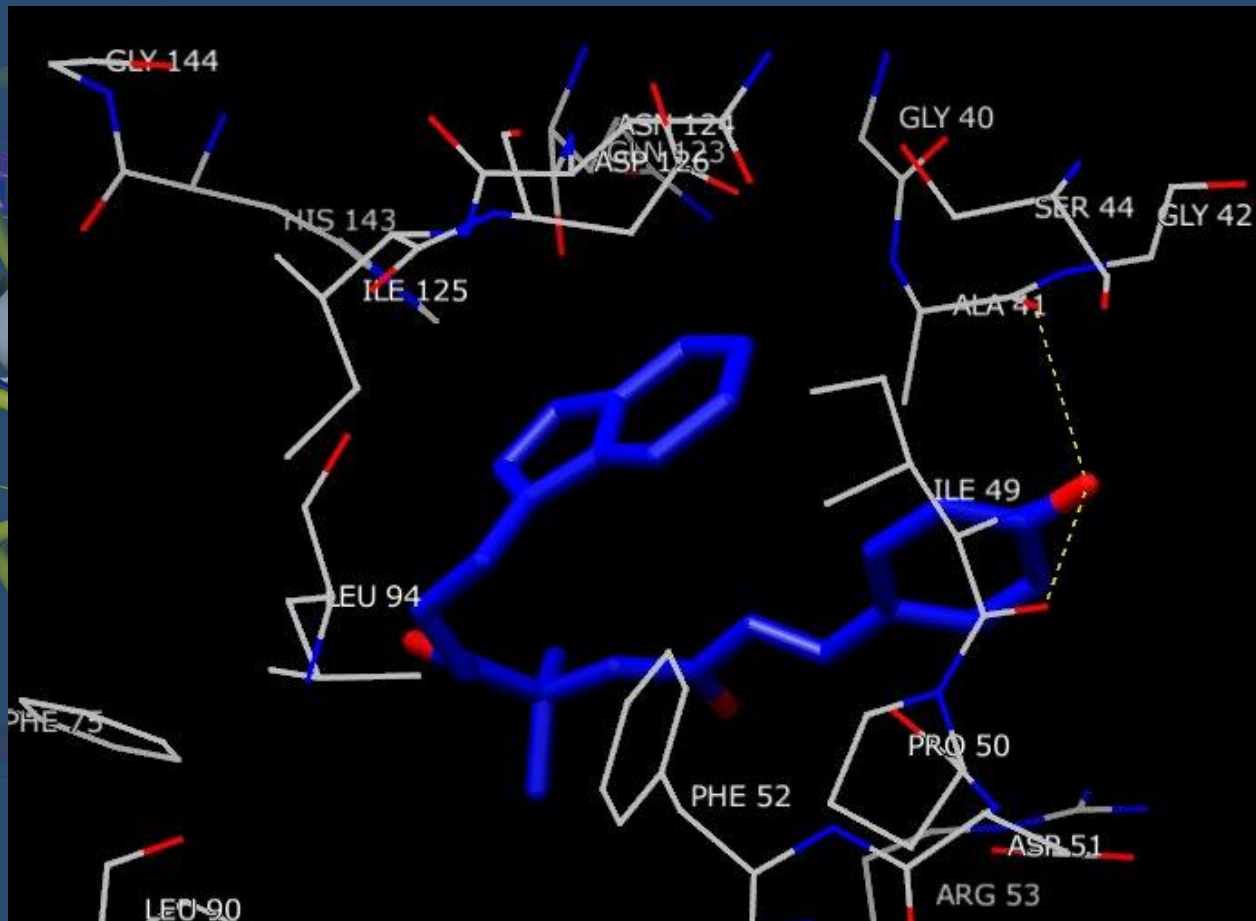
1 $IC_{50} > 300 \mu M$

Strutture più attive



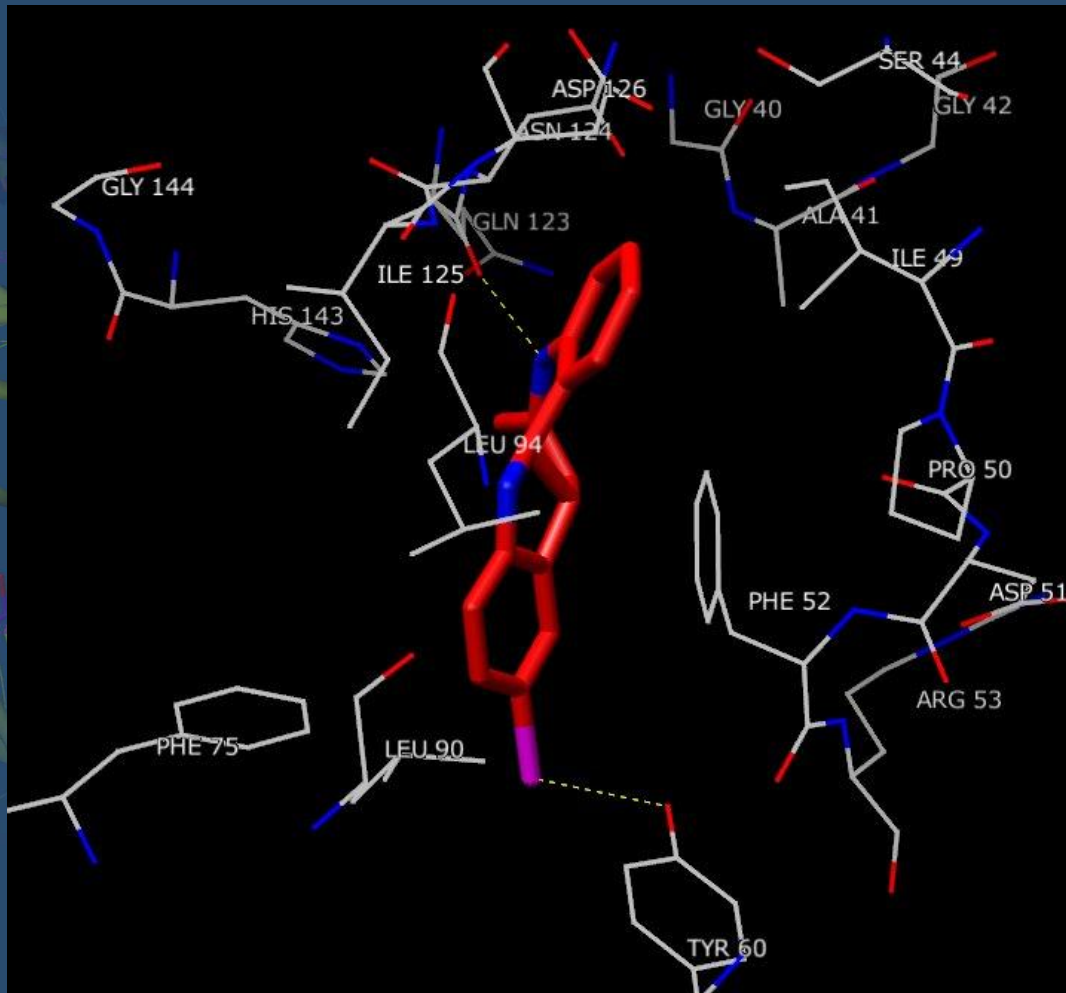
Derivati bisindolmaleimmidici
26 IC₅₀= 7,3 μM

Strutture mediamente attive



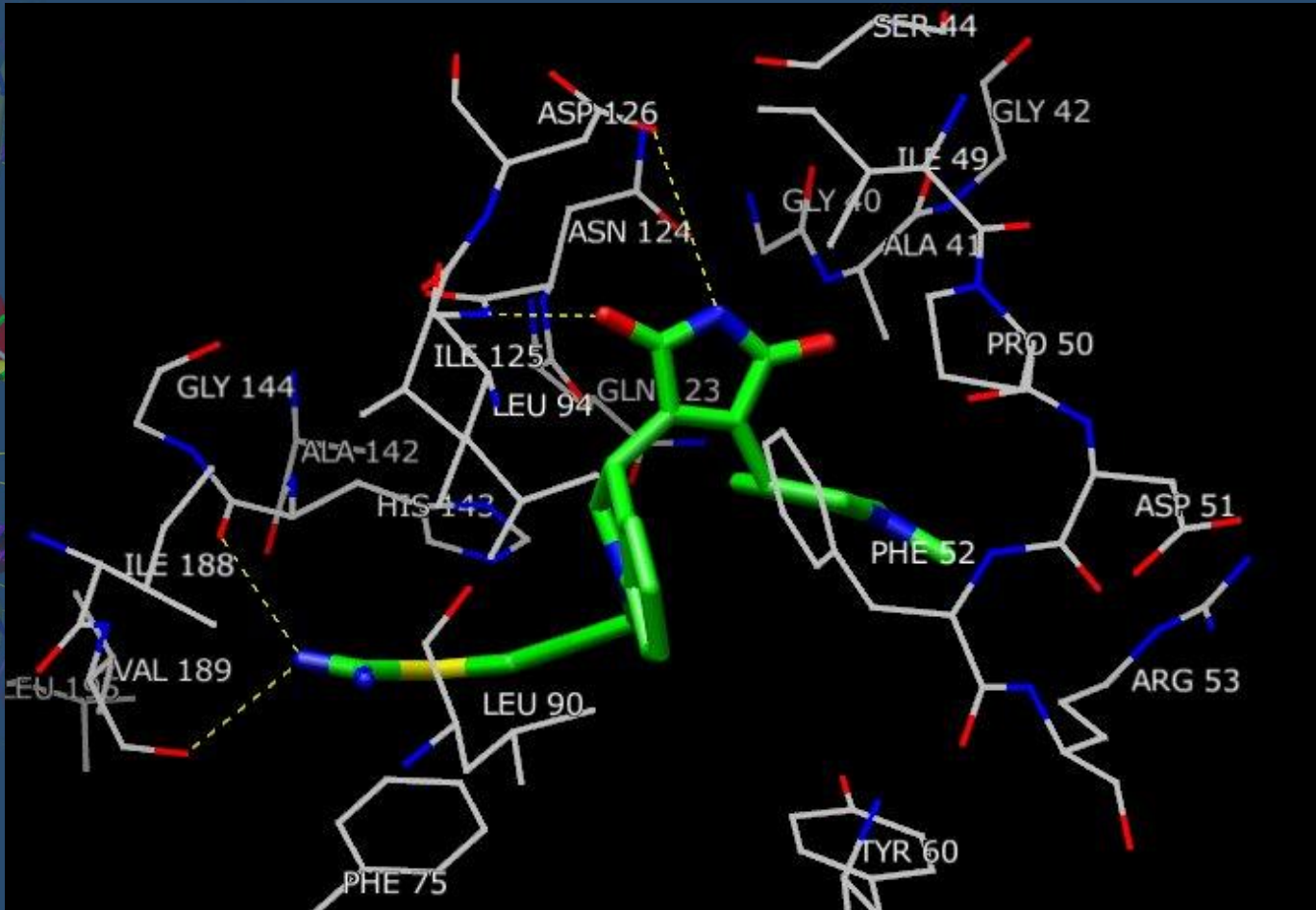
Derivati triptamidici
15 IC₅₀= 50 µM

Strutture poco attive



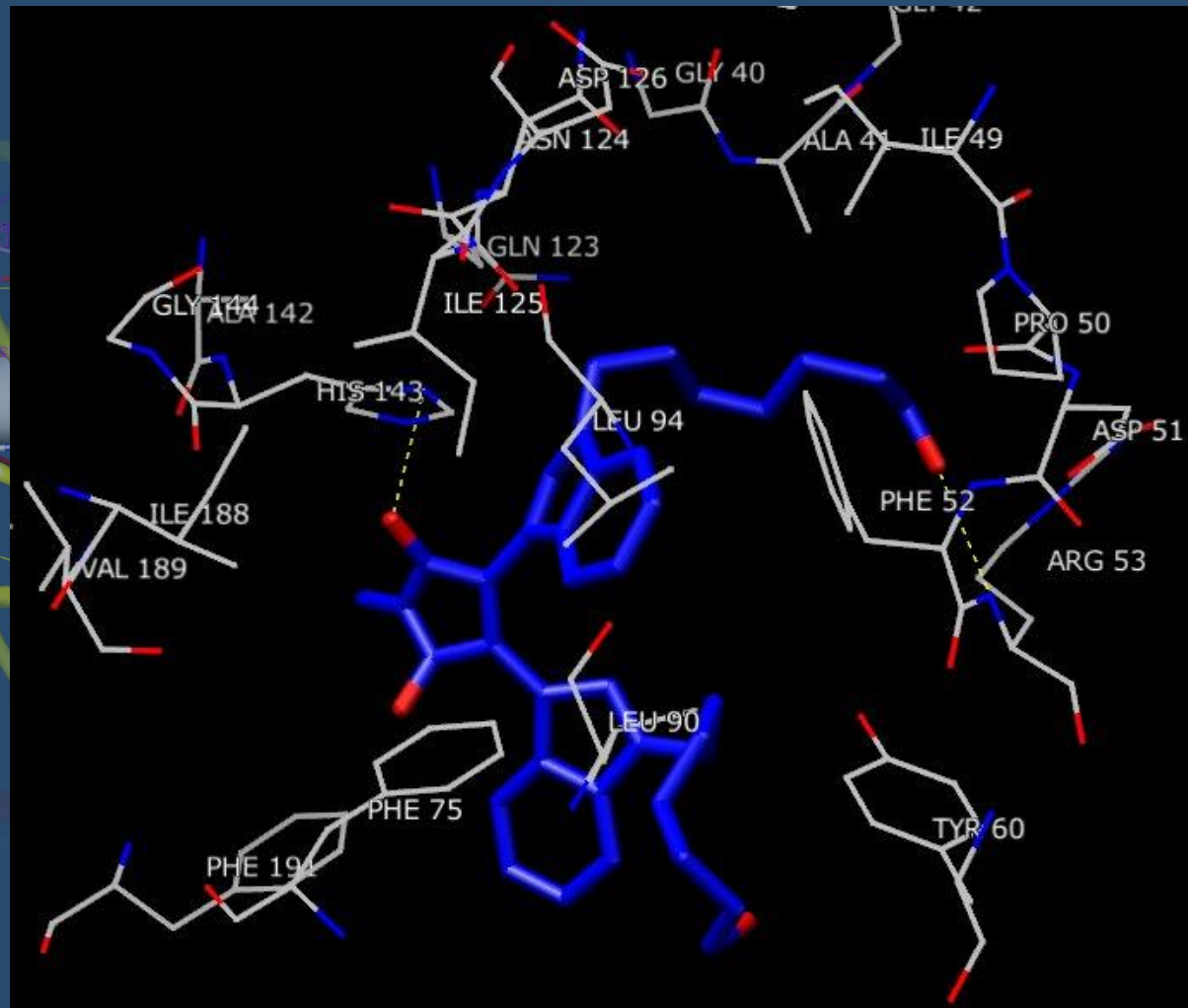
Derivati paullonici
35 IC₅₀ = 100 μmoli

Strutture più attive



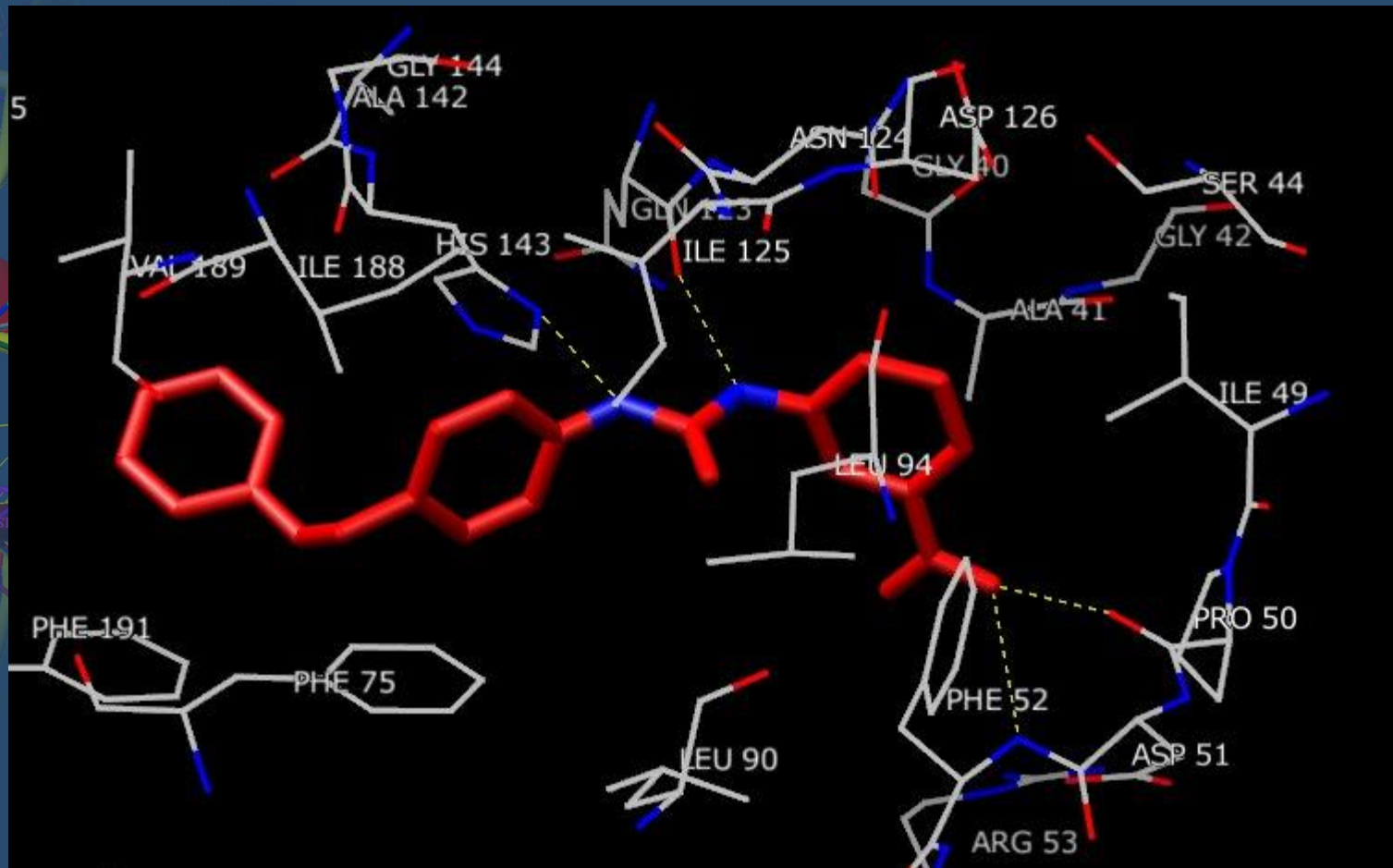
**Derivati bisindolmaleimmidici
28 $IC_{50} = 0,8 \mu\text{moli}$**

Strutture mediamente attive



Derivati bisindolmaleimmidici
28 IC₅₀ = 100 µmoli

Strutture poco attive



Strutture bisfenilammidiche
2 IC₅₀ > 300 µmoli